



Laboratorium EMVO Sp. J.  
ul. Jasna 1  
00-013 Warszawa



tel. +48 22 780 29 64  
e-mail: laboratorium@emvo.pl



AB 1630

## Sprawozdanie z pomiarów pól elektromagnetycznych - środowisko ogólne nr 1/06/OŚ/2022- P4-W



|                   |   |                          |
|-------------------|---|--------------------------|
| Nr i nazwa stacji | CIE3309B  |                          |
| Adres             | Ciechanów, Śmiecińska, dz. nr 23/29, pow. ciechanowski, woj. mazowieckie  |                          |
| Opracowanie       |   | Specjalista ds. pomiarów |
| Autoryzacja       |   | Kierownik Laboratorium   |
| Podpis            | Podpis jest prawidłowy <br>Dokument podpisany przez <br>Data: 2022.06.04 09:02:16<br>Powód: Zatwierdzam dokument |                          |
| Data              | 2022-06-02  |                          |

## Spis treści

|   |   |
|---|---|
| 1. Informacje ogólne.....   | 3 |
| 2. Podstawa prawna.....   | 3 |
| 3. Opis pomiarów.....   | 4 |
| 4. Zróżnicowanie dopuszczalne poziomy pól elektromagnetycznych..... | 5 |
| 5. Charakterystyka źródeł PEM.....                                  | 5 |
| 6. Wyniki pomiarów.....   | 5 |
| 7. Stwierdzenie zgodności.....                                      | 7 |
| 8. Oświadczenie.....  | 7 |
| 9. Spis załączników.....  | 8 |

## 1. Informacje ogólne.

|   |  |
|---|--|
| Zleceniodawca   | P4 sp. z o.o.,<br>ul. Wynałazek 1,<br>02-677 Warszawa<br>osoba udzielająca informacji-   |
| Istotne informacje dostarczone przez klienta                            | komplet informacji niezbędnych do wykonania pomiarów i opracowania sprawozdania  |
| Dane otrzymane od klienta mogące mieć wpływ na ważność wyników          | Dane anten sektorowych, dane anten radioliniowych, parametry pracy instalacji, poprawka pomiarowa, ustawienie pochylenia anten |
| Prowadzący instalację   | P4 sp. z o.o., ul. Wynałazek 1, 02-677 Warszawa  |
| Lokalizacja obiektu   | Ciechanów, Śmiecińska, dz. nr 23/29, pow. ciechanowski, woj. mazowieckie   |
| Miejsce instalacji anten  | Wieża rurowa   |
| Miejsce instalacji urządzeń   | Outdoor  |
| Osoby wykonujące pomiar   |  |
| Data wykonania pomiaru  | 02.06.2022   |
| Temperatura na początku pomiaru [°C]                                    | 18,0   |
| Temperatura na koniec pomiaru [°C]                                      | 18,0   |
| Warunki atmosferyczne   | Brak opadów  |
| Wilgotność na początku pomiaru [%]                                      | 56,0   |
| Wilgotność na koniec pomiaru [%]  | 56,0   |
| Godzina na początku pomiaru   | 12:55  |
| Godzina na koniec pomiaru   | 14:27  |
| Inne źródła pól elektromagnetycznych oznaczone na załączniku graficznym | Występują  |
| Parametry pracy instalacji  | Rzeczywisty  |

## 2. Podstawa prawna.

### 2.1 Normy i rozporządzenia:

- Rozporządzeniem Ministra Klimatu z dnia 17 lutego 2020 r. w sprawie sposobów sprawdzania dotrzymania dopuszczalnych poziomów pól elektromagnetycznych w środowisku (Dz.U. 2020 poz. 258)
- Rozporządzenie Ministra Zdrowia z dnia 17 grudnia 2019 r. w sprawie dopuszczalnych poziomów pól elektromagnetycznych w środowisku (Dz.U. 2019 poz. 2448)
- Obwieszczenie Marszałka Sejmu Rzeczypospolitej Polskiej z dnia 19 lipca 2019 r. w sprawie ogłoszenia jednolitego tekstu ustawy - Prawo ochrony środowiska (Dz.U. 2019 poz. 1396).

### 3. Opis pomiarów

|   |   |
|---|---|
| Metodologia pomiarowa                           | Pomiary w oparciu o Rozporządzeniem Ministra Klimatu z dnia 17 lutego 2020 r. w sprawie sposobów sprawdzania dotrzymania dopuszczalnych poziomów pól elektromagnetycznych w środowisku (Dz.U. 2020 poz. 258).   |
| Cel badań                                       | Określenie wartości natężenia pola elektrycznego w miejscach dostępnych dla ludności.   |
| Opis zestawu pomiarowego                        | Miernik Narda NBM 520, Sonda EF 9091, o zakresie pomiarowym 0,7 V/m - 400V/m pracująca w paśmie 0,1 – 90 GHz, świadectwo wydane przez Laboratorium Wzorców i Metrologii Pola Elektromagnetycznego, Instytut Telekomunikacji, Teleinformatyki i Akustyki Politechniki Wrocławskiej. Świadectwo ważne do 13.07.2023r.<br>Miernik Narda NBM 520, Sonda EF 9091 pracująca w zakresie temperatury -10°C - +50°C oraz wilgotności 5% - 95%.<br>Niepewność rozszerzona 59,4% przy poziomie ufności 95% z uwzględnieniem współczynnika rozszerzenia k=2.  |
| Wyposażenie pomocnicze                          | Termohigrometr Termoprodukt, typ: Termik+, nr identyfikacyjny 700618, świadectwo wzorcowania nr 1763/AH/19 z dn. 29.07.2019 r. wydane przez Laboratorium Pomiarowe "MUTECH".<br>Przymiar wstępowy STABILA, nr identyfikacyjny 31WL, świadectwo wzorcowania nr 6W1/1826/19 z dn. 02.08.2019 r. wydane przez Dyrektora Okręgowego Urzędu Miar w Gdańsku.<br>GPS Garmin 64s okresowo sprawdzany w punktach osnowy geodezyjnej klasy 3 na podstawie licencji punktu, zgodnie z procedurą sprawdzeń okresowych IS/PO16-11/03.  |
| Pomiary zostały wykonane                        | <ol style="list-style-type: none"><li>1. na głównych i pomocniczych kierunkach pomiarowych, na kierunkach zbliżonych do azymutów anten oraz w dodatkowych pionach pomiarowych zgodnie z wymaganiami pkt 12, 13, 14 i 19 załącznika do rozporządzenia Ministra Klimatu z dnia 17 lutego 2020 r. (Dz. U. 2020, poz. 258),</li><li>2. na obszarze pomiarowym, dla którego, na podstawie uprzednio wykonanych obliczeń uzyskanych od zleceniodawcy, stwierdzono możliwość występowania pól elektromagnetycznych o poziomach zbliżonych do poziomów dopuszczalnych zgodnie z wymaganiami pkt 5 ppkt 2 oraz pkt 13 ppkt 1 załącznika do rozporządzenia Ministra Klimatu z dnia 17 lutego 2020 r. (Dz. U. 2020, poz. 258). Wyniki obliczeń nie uwzględniały parametrów pracy instalacji innych operatorów występujących na obiekcie bądź w obszarze pomiarowym.</li><li>3. w miejscach dostępnych dla ludności.</li><li>4. miejsca niedostępne podczas wykonywania pomiarów wskazane zostały w pkt 6 (tabeli wyniki pomiarów)</li><li>5. wyniki pomiarów uzyskane zostały przy uwzględnieniu poprawek pomiarowych przekazanych przez zleceniodawcę oraz przy rzeczywistych warunkach pracy instalacji innych operatorów (w przypadku występowania). W takiej sytuacji uwzględniono jednolitą poprawkę pomiarową wynoszącą 2,0.</li></ol> |
| Szczególne warunki podczas wykonywania pomiarów | Pomiary wykonane zostały podczas obowiązywania w kraju stanu epidemii, zgodnie z art. 122a ust. 1b Ustawy z dnia 27 kwietnia 2001 r. – Prawo ochrony środowiska (Dz. U. z 2019 r. poz. 1396, z późn. zm.9))   |
| Warunki pracy urządzeń nadawczych               | Podczas pomiarów zostały uwzględnione poprawki pomiarowe przekazane przez zleceniodawcę, umożliwiające uwzględnienie maksymalnych parametrów pracy  |

„Bez pisemnej zgody Laboratorium niniejsze sprawozdanie nie może być powielane inaczej, jak tylko w całości. Ponadto wyniki dotyczą tylko badanych obiektów przywołanych w niniejszym sprawozdaniu z badań”



instalacji zgodnie z pkt 7 załącznika do Rozporządzeniem Ministra Klimatu z dnia 17 lutego 2020 r. w sprawie sposobów sprawdzania dotrzymania dopuszczalnych poziomów pól elektromagnetycznych w środowisku (Dz. U. 2020, poz. 258).

#### 4. Zróżnicowanie dopuszczalne poziomy pól elektromagnetycznych.

Zakresy znajdują się w Dzienniku Ustaw z dnia 17 grudnia 2019 r. przedstawione są w tabeli nr 2 (Dz. U. z 2019r. poz. 2448).

| Parametr fizyczny                               | Składowa elektryczna E (V/m) | Składowa magnetyczna H (A/m) | Gęstość mocy S (W/m <sup>2</sup> ) |
|---|------------------------------|------------------------------|------------------------------------|
| Zakres Częstotliwości pola elektromagnetycznego |                              |                              |                                    |
| od 400 MHz do 2000 MHz                          | $1,375 \times f^{0,5}$       | $0,0037 \times f^{0,5}$      | $f / 200$                          |
| od 2 GHz do 300 GHz                             | 61                           | 0,16                         | 10                                 |

#### 5. Charakterystyka źródeł PEM.

Zgodnie z informacją otrzymaną od Klienta pomiary zostały wykonane przy ustawieniach pochylenia anten zgodnych z pkt. 13, ppkt 2 załącznika do rozporządzenia Ministra Klimatu z dnia 17 lutego 2020 roku.

Tabela 1. Anteny sektorowe - dane otrzymane od klienta

| Charakterystyka promieniowania  |   | kierunkowa                        |                  |                  |                  |                  |                  |
|---------------------------------|---|-----------------------------------|------------------|------------------|------------------|------------------|------------------|
| Rzeczywisty czas pracy [h/dobę] |   | 24                                |                  |                  |                  |                  |                  |
| Rodzaj wytwarzanego pola        |   | stacjonarne                       |                  |                  |                  |                  |                  |
| Lp                              | Wyszczególnienie                        | sektor 1                          |                  | sektor 2         |                  | sektor 3         |                  |
| I Nadajnik stacji bazowej:      |   |                                   |                  |                  |                  |                  |                  |
| 1                               | Typ / Producent                         | DBS/RBS / Overlay Huawei/Ericsson |                  |                  |                  |                  |                  |
| 2                               | Częstotliwość (pasmo) MHz               | 800                               | 900              | 800              | 900              | 800              | 900              |
| 3                               | Maksymalna moc nadawana na sektor [dBm] | 43,01                             | 43,01            | 43,01            | 43,01            | 43,01            | 43,01            |
| II Obciążenie:                  |   |                                   |                  |                  |                  |                  |                  |
| 1                               | Typ anteny                              | Huawei ATR4518R6                  | Huawei ATR4518R6 | Huawei ATR4518R6 | Huawei ATR4518R6 | Huawei ATR4518R6 | Huawei ATR4518R6 |
| 2                               | Producent anteny                        | Huawei                            | Huawei           | Huawei           | Huawei           | Huawei           | Huawei           |
| 3                               | Ilość anten                             | 1                                 | 1                | 1                | 1                | 1                | 1                |
| 4                               | Azymut                                  | 120                               |                  | 250              |                  | 350              |                  |
| 5                               | Zakres kątów pochylenia anten [°]       | 0,00-10,00                        |                  | 0,00-10,00       |                  | 0,00-10,00       |                  |
| 6                               | Wysokość zainst. n.p.t. [m]             | 47,00                             |                  | 47,00            |                  | 47,00            |                  |
| 7                               | EIRP [W]                                | 817                               | 871              | 817              | 871              | 817              | 871              |

Tabela 2. Anteny radioliniowe- dane otrzymane od klienta

| Charakterystyka promieniowania  |                  | kierunkowa                |                     |               |                     |            |                        |
|---------------------------------|------------------|---------------------------|---------------------|---------------|---------------------|------------|------------------------|
| Rzeczywisty czas pracy [h/dobę] |                  | 24                        |                     |               |                     |            |                        |
| Rodzaj wytwarzanego pola        |                  | stacjonarne               |                     |               |                     |            |                        |
| Linia radiowa                   |                  |                           |                     | Antena        |                     |            |                        |
| Lp                              | typ/producent    | częstotliwość pracy [GHz] | moc wyjściowa [dBm] | typ/producent | średnica anteny [m] | azymut [°] | wysokość zainstal. [m] |
| 1                               | OPTIX RTN/HUAWEI | 80                        | 18                  | A80S03/Huawei | 0,3                 | 52         | 44,80                  |

„Bez pisemnej zgody Laboratorium niniejsze sprawozdanie nie może być powielane inaczej, jak tylko w całości. Ponadto wyniki dotyczą tylko badanych obiektów przywołanych w niniejszym sprawozdaniu z badań”

## 6. Wyniki pomiarów.

Wyniki pomiarów pól elektromagnetycznych dla celów ochrony środowiska przedstawia poniższa tabela. Piony pomiarowe zostały przedstawione w zał. 2.

| Nr PP | Pole-E [V/m] | Pole-E *kE, +U [V/m] | Pole-H [A/m] | Pole-H *kE +U [A/m] | Wys. pomiaru [m] | Opis pionu                     | Uwagi  | WM <sub>E</sub> | WM <sub>H</sub> |
|-------|--------------|----------------------|--------------|---------------------|------------------|--------------------------------|--|-----------------|-----------------|
| 1     | 0,7*         | 2,55                 | 0,002        | 0,007               | 0,3-2,0          | N:52°52'43.4"<br>E:20°35'25.7" | otoczenie stacji bazowej - 100m<br>wzdłuż gł. osi promieniowania - GKP | 0,091           | 0,093           |
| 2     | 0,7*         | 2,55                 | 0,002        | 0,007               | 0,3-2,0          | N:52°52'41.8"<br>E:20°35'30.8" | otoczenie stacji bazowej - 200m<br>wzdłuż gł. osi promieniowania - GKP | 0,091           | 0,093           |
| 3     | 0,7*         | 2,55                 | 0,002        | 0,007               | 0,3-2,0          | N:52°52'38.7"<br>E:20°35'39.3" | otoczenie stacji bazowej - 400m<br>wzdłuż gł. osi promieniowania - GKP | 0,091           | 0,093           |
| 4     | 0,7*         | 2,55                 | 0,002        | 0,007               | 0,3-2,0          | N:52°52'37.6"<br>E:20°35'42.5" | otoczenie stacji bazowej - 470m<br>wzdłuż gł. osi promieniowania- GKP  | 0,091           | 0,093           |
| 5     | 0,7*         | 2,55                 | 0,002        | 0,007               | 0,3-2,0          | N:52°52'44.1"<br>E:20°35'15.7" | otoczenie stacji bazowej - 100m<br>wzdłuż gł. osi promieniowania - GKP | 0,091           | 0,093           |
| 6     | 0,7*         | 2,55                 | 0,002        | 0,007               | 0,3-2,0          | N:52°52'43.2"<br>E:20°35'10.4" | otoczenie stacji bazowej - 200m<br>wzdłuż gł. osi promieniowania - GKP | 0,091           | 0,093           |
| 7     | 0,7*         | 2,55                 | 0,002        | 0,007               | 0,3-2,0          | N:52°52'42.3"<br>E:20°35'05.8" | otoczenie stacji bazowej - 300m<br>wzdłuż gł. osi promieniowania - GKP | 0,091           | 0,093           |
| 8     | 0,7*         | 2,55                 | 0,002        | 0,007               | 0,3-2,0          | N:52°52'41.2"<br>E:20°35'00.1" | otoczenie stacji bazowej - 400m<br>wzdłuż gł. osi promieniowania- GKP  | 0,091           | 0,093           |
| 9     | 0,7*         | 2,55                 | 0,002        | 0,007               | 0,3-2,0          | N:52°52'40.3"<br>E:20°34'57.1" | otoczenie stacji bazowej - 470m<br>wzdłuż gł. osi promieniowania- GKP  | 0,091           | 0,093           |
| 10    | 0,8          | 2,55                 | 0,002        | 0,007               | 0,3-2,0          | N:52°52'48.4"<br>E:20°35'20.4" | otoczenie stacji bazowej - 100m<br>wzdłuż gł. osi promieniowania - GKP | 0,091           | 0,093           |
| 11    | 0,7*         | 2,55                 | 0,002        | 0,007               | 0,3-2,0          | N:52°52'51.3"<br>E:20°35'19.9" | otoczenie stacji bazowej - 200m<br>wzdłuż gł. osi promieniowania - GKP | 0,091           | 0,093           |
| 12    | 0,7*         | 2,55                 | 0,002        | 0,007               | 0,3-2,0          | N:52°52'54.6"<br>E:20°35'19.2" | otoczenie stacji bazowej - 300m<br>wzdłuż gł. osi promieniowania - GKP | 0,091           | 0,093           |
| 13    | 0,7*         | 2,55                 | 0,002        | 0,007               | 0,3-2,0          | N:52°52'58.0"<br>E:20°35'18.6" | otoczenie stacji bazowej - 400m<br>wzdłuż gł. osi promieniowania- GKP  | 0,091           | 0,093           |
| 14    | 0,7*         | 2,55                 | 0,002        | 0,007               | 0,3-2,0          | N:52°53'00.2"<br>E:20°35'17.9" | otoczenie stacji bazowej - 470m<br>wzdłuż gł. osi promieniowania- GKP  | 0,091           | 0,093           |
| 15    | 0,7*         | 2,55                 | 0,002        | 0,007               | 0,3-2,0          | N:52°52'47.1"<br>E:20°35'25.5" | otoczenie stacji bazowej - 100m<br>wzdłuż gł. osi promieniowania - GKP | 0,091           | 0,093           |
| 16    | 0,7*         | 2,55                 | 0,002        | 0,007               | 0,3-2,0          | N:52°52'48.4"<br>E:20°35'23.1" | otoczenie stacji bazowej - GKP   | 0,091           | 0,093           |
| 17    | 0,7*         | 2,55                 | 0,002        | 0,007               | 0,3-2,0          | N:52°52'46.1"<br>E:20°35'22.9" | otoczenie stacji bazowej - GKP   | 0,091           | 0,093           |
| 18    | 0,7*         | 2,55                 | 0,002        | 0,007               | 0,3-2,0          | N:52°52'42.7"<br>E:20°35'21.2" | otoczenie stacji bazowej - GKP   | 0,091           | 0,093           |
| 19    | 0,7*         | 2,55                 | 0,002        | 0,007               | 0,3-2,0          | N:52°52'43.2"<br>E:20°35'17.9" | otoczenie stacji bazowej - GKP   | 0,091           | 0,093           |
| 20    | 0,7*         | 2,55                 | 0,002        | 0,007               | 0,3-2,0          | N:52°52'42.7"<br>E:20°35'14.4" | otoczenie stacji bazowej - GKP   | 0,091           | 0,093           |
| 21    | 0,7*         | 2,55                 | 0,002        | 0,007               | 0,3-2,0          | N:52°52'45.0"<br>E:20°35'13.9" | otoczenie stacji bazowej - GKP   | 0,091           | 0,093           |
| 22    | 0,7*         | 2,55                 | 0,002        | 0,007               | 0,3-2,0          | N:52°52'46.6"<br>E:20°35'18.1" | otoczenie stacji bazowej - GKP   | 0,091           | 0,093           |
| 23    | 0,7*         | 2,55                 | 0,002        | 0,007               | 0,3-2,0          | N:52°52'48.5"<br>E:20°35'17.9" | otoczenie stacji bazowej - GKP   | 0,091           | 0,093           |
| A     | 0,7*         | 2,55                 | 0,002        | 0,007               | 0,3-2,0          | N:52°52'45.5"<br>E:20°35'20.5" | Śmiecińska 9G, pomiar przed<br>budynkiem -DPP                          | 0,091           | 0,093           |
| B     | 0,7*         | 2,55                 | 0,002        | 0,007               | 0,3-2,0          | N:52°52'46.3"<br>E:20°35'17.5" | Śmiecińska 9C, pomiar przed<br>budynkiem -DPP                          | 0,091           | 0,093           |
| C     | 0,7*         | 2,55                 | 0,002        | 0,007               | 0,3-2,0          | N:52°52'47.2"<br>E:20°35'19.9" | Śmiecińska 9H, pomiar przed<br>budynkiem -DPP                          | 0,091           | 0,093           |
| D     | 0,7*         | 2,55                 | 0,002        | 0,007               | 0,3-2,0          | N:52°52'49.8"<br>E:20°35'20.1" | Śmiecińska 12E, pomiar przed<br>budynkiem -DPP                         | 0,091           | 0,093           |
| E     | 0,7*         | 2,55                 | 0,002        | 0,007               | 0,3-2,0          | N:52°52'55.8"<br>E:20°35'18.7" | Budynek bez adresu, pomiar przed<br>budynkiem -DPP                     | 0,091           | 0,093           |

„Bez pisemnej zgody Laboratorium niniejsze sprawozdanie nie może być powielane inaczej, jak tylko w całości. Ponadto wyniki dotyczą tylko badanych obiektów przywołanych w niniejszym sprawozdaniu z badań”

|   |      |      |       |       |         |                                |   |       |       |
|---|------|------|-------|-------|---------|--------------------------------|---|-------|-------|
| F | 0,7* | 2,55 | 0,002 | 0,007 | 0,3-2,0 | N:52°52'58.2"<br>E:20°35'18.3" | Towarowa 7a, pomiar przed budynkiem -DPP        | 0,091 | 0,093 |
| G | 0,7* | 2,55 | 0,002 | 0,007 | 0,3-2,0 | N:52°52'44.3"<br>E:20°35'21.6" | Śmiecińska 9F, pomiar przed budynkiem -DPP      | 0,091 | 0,093 |
| H | 0,7* | 2,55 | 0,002 | 0,007 | 0,3-2,0 | N:52°52'44.7"<br>E:20°35'18.3" | Śmiecińska 9D, pomiar przed budynkiem -DPP      | 0,091 | 0,093 |
| I | 0,7* | 2,55 | 0,002 | 0,007 | 0,3-2,0 | N:52°52'41.4"<br>E:20°35'32.2" | Starowiejska 27/25, pomiar przed budynkiem -DPP | 0,091 | 0,093 |
| J | 0,7* | 2,55 | 0,002 | 0,007 | 0,3-2,0 | N:52°52'41.4"<br>E:20°35'33.1" | Starowiejska 32/30, pomiar przed budynkiem -DPP | 0,091 | 0,093 |
| K | 0,7* | 2,55 | 0,002 | 0,007 | 0,3-2,0 | N:52°52'39.9"<br>E:20°35'33.9" | Starowiejska 28, pomiar przed budynkiem -DPP    | 0,091 | 0,093 |
| L | 0,7* | 2,55 | 0,002 | 0,007 | 0,3-2,0 | N:52°52'40.8"<br>E:20°35'36.2" | Starowiejska 26, pomiar przed budynkiem -DPP    | 0,091 | 0,093 |
| M | 0,7* | 2,55 | 0,002 | 0,007 | 0,3-2,0 | N:52°52'38.6"<br>E:20°35'39.3" | Jasna 29, pomiar przed budynkiem -DPP           | 0,091 | 0,093 |

Wynik pomiaru pole - E [V/m] - maksymalna wartość chwilowa zmierzona w danym pionie pomiarowym (uśredniona na podstawie punktu 11 Załącznika do Rozporządzenia Ministra Zdrowia).

Przyjęto najniższą dopuszczalną wartość składowej elektrycznej pola dla objętego pomiarami zakresu częstotliwości  $\min(ME_{gr}) = 28 \text{ V/m}$  oraz składowej magnetycznej  $\min(MH_{gr}) = 0,073 \text{ A/m}$ .

\* - wartość zmierzona poniżej zakresu akredytacji. Do obliczeń przyjęto wartość zgodną z dolną granicą akredytowanego zakresu pomiarowego metody.

GKP - główne kierunki pomiarowe

PKP - pomocnicze kierunki pomiarowe

DPP - dodatkowe punkty pomiarowe

PP - pion pomiarowy

U - niepewność pomiarowa rozszerzona, przy poziomie ufności 95%, z uwzględnieniem współczynnika rozszerzenia  $k=2$

kE - poprawka pomiarowa badanej instalacji radiokomunikacyjnej podana przez operatora ( $kE=1,7$ ), poprawka pomiarowa w przypadku oddziaływania innych instalacji radiokomunikacyjnych na badany obszar ( $kE=2,0$ )

WM<sub>E</sub> - wartość wskaźnikowa poziomu emisji pól elektromagnetycznych dla miejsc dostępnych dla ludności dla składowej elektrycznej pola

WM<sub>H</sub> - wartość wskaźnikowa poziomu emisji pól elektromagnetycznych dla miejsc dostępnych dla ludności dla składowej magnetycznej pola

## 7. Stwierdzenie zgodności

Na podstawie wytycznych podanych w Rozporządzeniu Ministra Zdrowia z dnia 17 grudnia 2019 r. w sprawie dopuszczalnych poziomów pól elektromagnetycznych w środowisku (Dz.U. 2019 poz. 2448) oraz sposobów sprawdzania dotrzymania tych poziomów zgodnie z Rozporządzeniem Ministra Klimatu z dnia 17 lutego 2020 r. w sprawie sposobów sprawdzania dotrzymania dopuszczalnych poziomów pól elektromagnetycznych w środowisku (Dz.U. 2020 poz. 258) dotyczących źródła wymagań, które muszą być spełnione (załącznik do rozporządzenia Ministra Klimatu z dnia 17 lutego 2020 r. (poz. 258)), w oparciu o zasadę podejmowania decyzji zgodną z pkt 26 załącznika do rozporządzenia Ministra Klimatu z dnia 17 lutego 2020 r. (poz. 258), na podstawie wyników pomiarów pól elektromagnetycznych wykonanych w dniu 02.06.2022 stwierdzono, iż w miejscach dostępnych dla ludności, dopuszczalne poziomy pól elektromagnetycznych w środowisku, określone w przepisach wydanych na podstawie art. 122 ust. 1 ustawy z dnia 27 kwietnia 2001 r. – Prawo ochrony środowiska, uznaje się za dotrzymane w obszarze pomiarowym, w którym w wyniku zastosowania sposobu sprawdzenia dotrzymania dopuszczalnych poziomów pól elektromagnetycznych w środowisku, udokumentowano, że żadna z wartości wskaźnikowych nie przekracza wartości 1.

## 8. Oświadczenie.

Wyniki badania odnoszą się wyłącznie do badanego obiektu.

Bez pisemnej zgody sprawozdanie nie może być powielane inaczej, jak tylko w całości.

Uwagi i zastrzeżenia przyjmowane są w formie pisemnej w ciągu 14 dni od daty otrzymania sprawozdania.

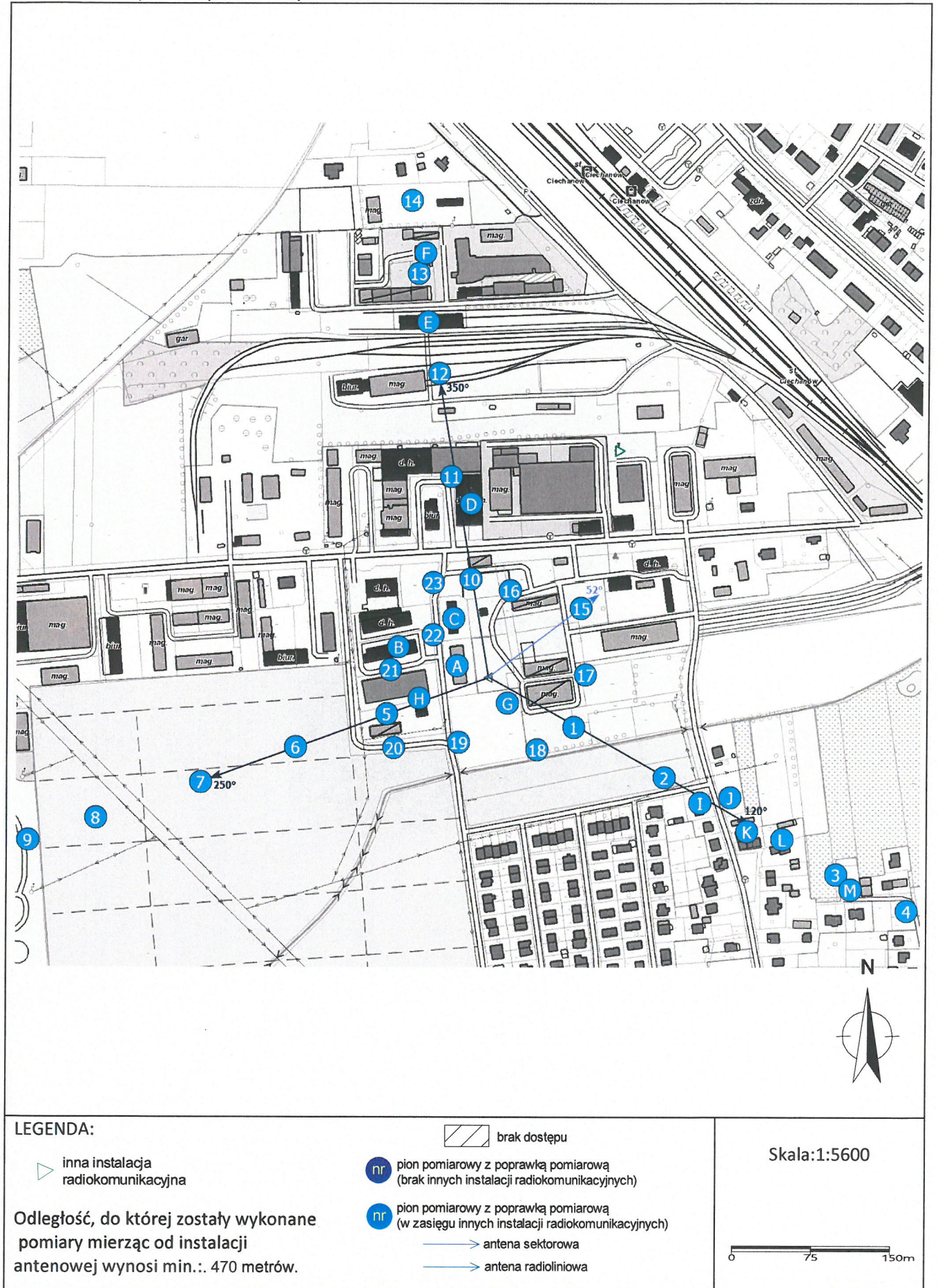
„Bez pisemnej zgody Laboratorium niniejsze sprawozdanie nie może być powielane inaczej, jak tylko w całości. Ponadto wyniki dotyczą tylko badanych obiektów przywołanych w niniejszym sprawozdaniu z badań”







## Załącznik 2. Widok pionów pomiarowych



„Bez pisemnej zgody Laboratorium niniejsze sprawozdanie nie może być powielane inaczej, jak tylko w całości. Ponadto wyniki dotyczą tylko badanych obiektów przywołanych w niniejszym sprawozdaniu z badań”

1/06/OŚ/2022– P4-W



Zař. 3. Zařączniki graficzne.

